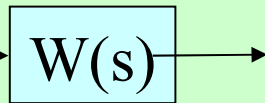


# Accelerometri

Funzione di trasferimento:

Accelerazione  
da misurare



Spostamento  
relativo tra massa  
sismica e base di  
fissaggio  
dell'accelerometro

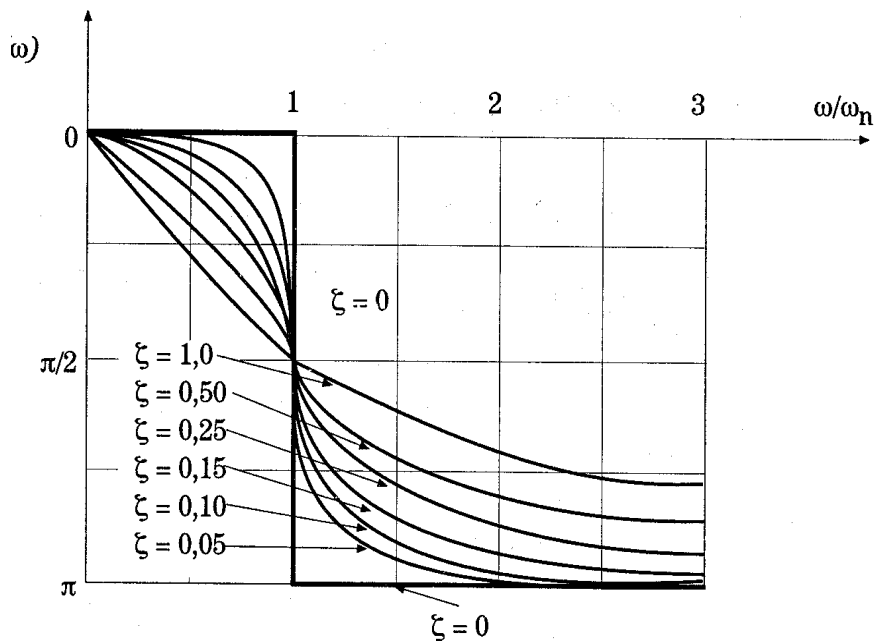
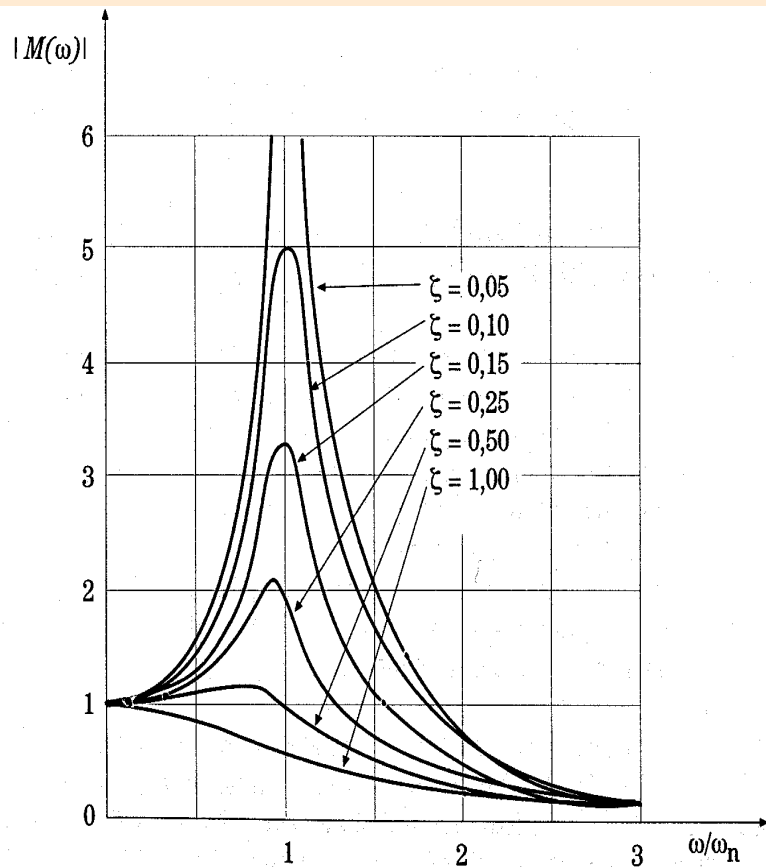
$$W(s) = \frac{\text{Diff. Spostamento}(s)}{\text{AccelerazioneBase}(s)} = \frac{\frac{1}{\omega_n^2}}{1 + \frac{2\zeta}{\omega_n} s + \frac{s^2}{\omega_n^2}}$$

Si noti che la sensibilità dell'accelerometro (risposta per  $s=iw=0$ ) è  $-1/\omega_n^2$  e quindi inversamente proporzionale alla frequenza naturale dell'accelerometro.

Più ampia è la banda passante ( $0-\omega_n$ ) minore è quindi la sensibilità dell'accelerometro

**Per quel che riguarda il rapporto di smorzamento negli strumenti si fa in modo che il suo valore renda massima la banda passante e lineare la caratteristica di fase.**

**Per questo motivo negli accelerometri :  $\zeta=0.67$**



**i velocimetri o tachimetri sono misuratori di velocità**

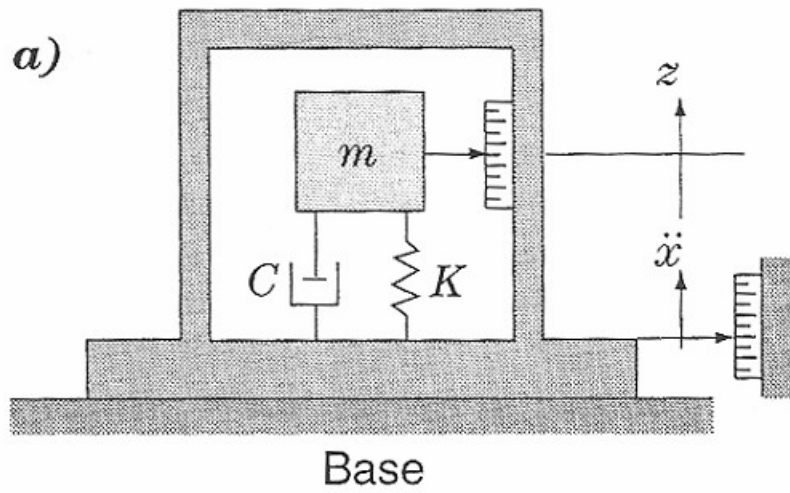
$$W(s) = \frac{\text{Diff. Spostamento}(s)}{\text{Velocità Base}(s)} = s \frac{\frac{1}{\omega_n^2}}{1 + \frac{2\zeta}{\omega_n} s + \frac{s^2}{\omega_n^2}}$$

$$W(i\omega) = \frac{\frac{i\omega}{\omega_n^2}}{1 + \frac{2\zeta}{\omega_n} i\omega - \frac{\omega^2}{\omega_n^2}}$$

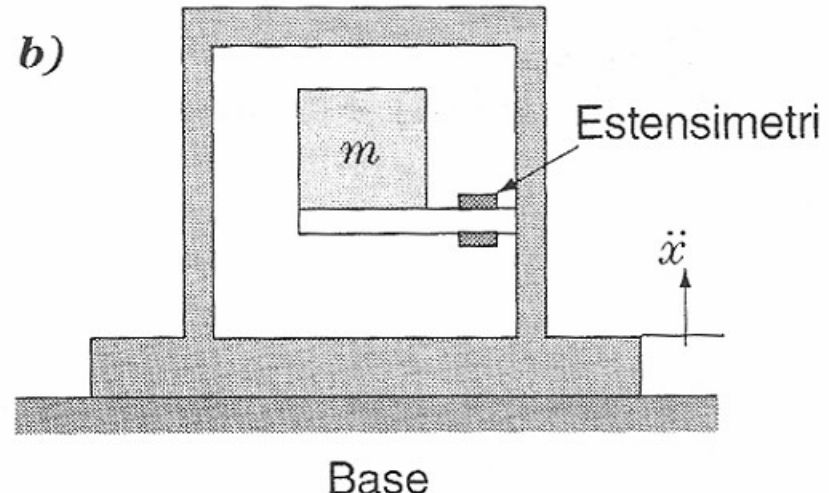
**Per lo stesso motivo per i velocimetri si ha :  $\zeta >> 1$**

# Accelerometri

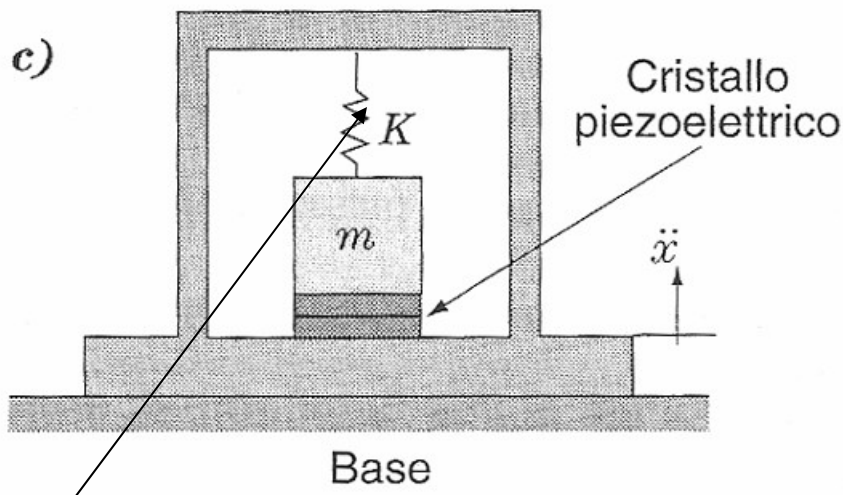
a)



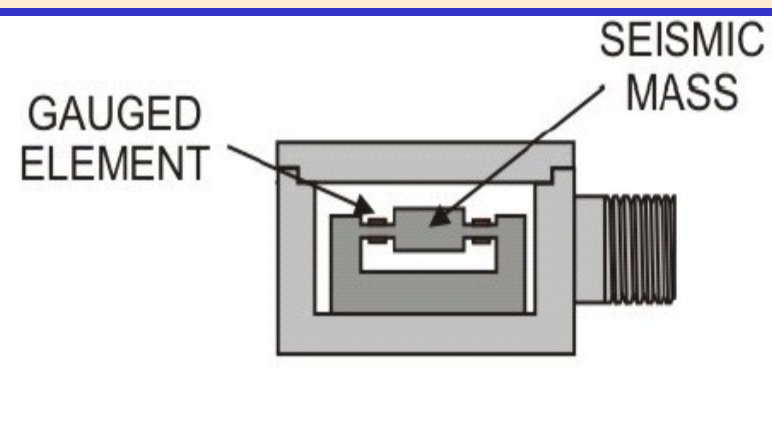
b)



c)



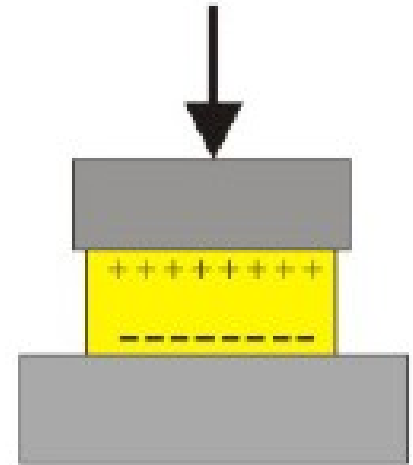
Molla di precarico



estensimetri

## Materiali piezoelettrici

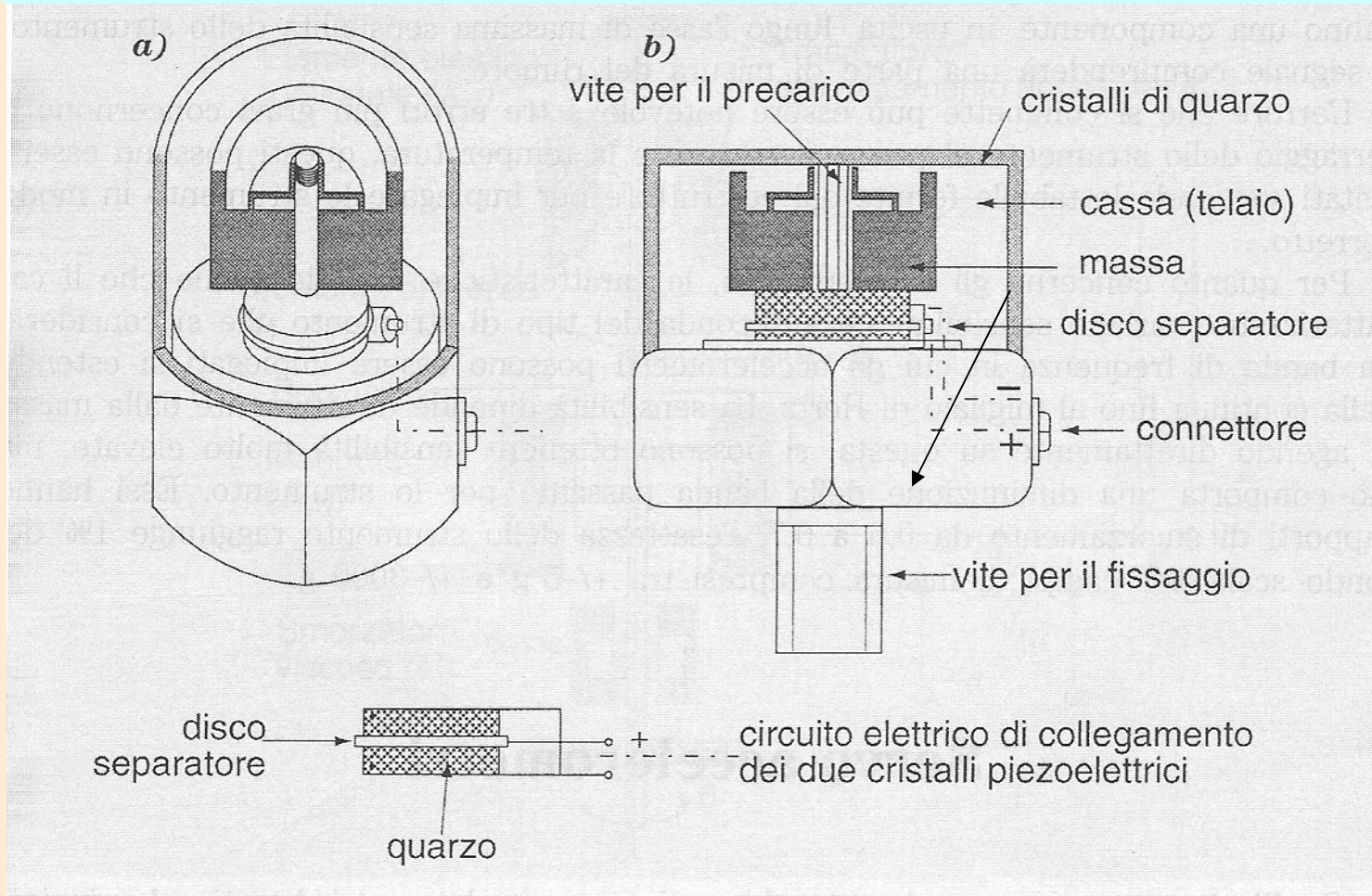
Quando certi materiali vengono deformati, internamente ad essi vengono generate cariche elettriche. Questo fenomeno è reversibile e prende il nome di effetto piezoelettrico. I campi di applicazione sono molteplici: attuatori e sensori (spostamento, forza, pressione)



I materiali piezoelettrici sono principalmente di 3 tipi:

- cristalli naturali (quarzo) e sintetici (solfato di litio, fosfato di ammonio biidrogenato)
- ceramiche ferroelettriche polarizzate artificialmente (titanato di bario)
- alcune pellicole di polimeri

# Schema costruttivo di un accelerometro piezoelettrico



- Alla rigidezza K contribuiscono sia la rigidezza propria del materiale piezoelettrico sia quella dell'elemento di precarico;
- Lo smorzamento è dato solo dall'isteresi del materiale piezoelettrico ( $\zeta \leq 0.01$ , che in genere è accettabile perché  $\omega_n$  è elevata).

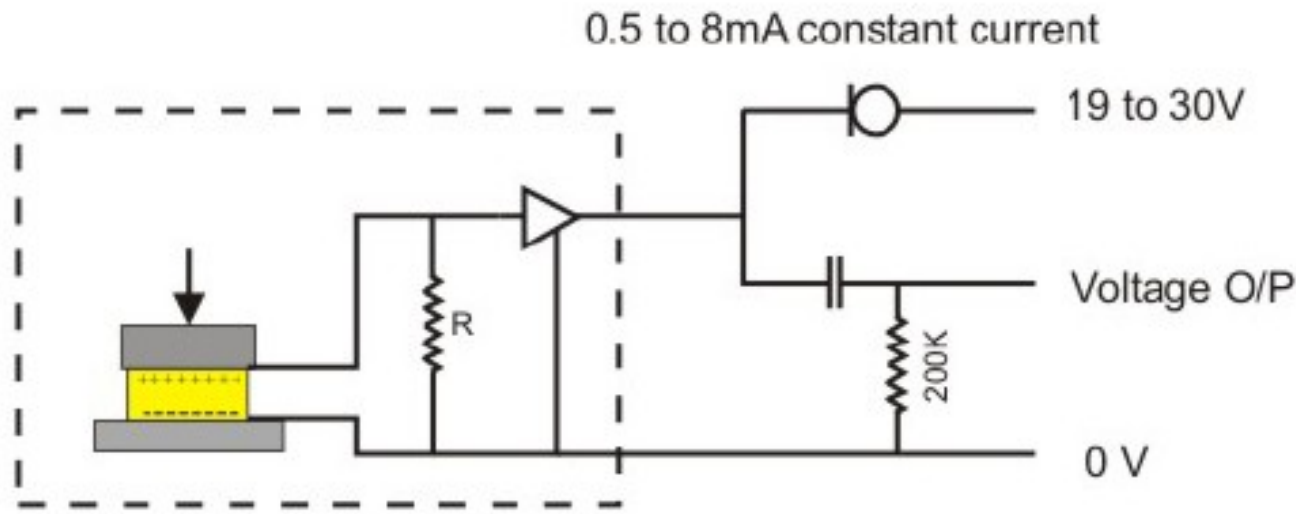
## Precarico di un accelerometro piezoelettrico

Il materiale piezoelettrico può essere sottoposto ad un precarico opportuno per i seguenti motivi:

- si cerca di far funzionare l'accelerometro in un tratto lineare della curva carica vs. deformazione;
- il precarico permette di misurare sia accelerazioni positive sia negative senza porre in trazione il materiale piezoelettrico e senza rinunciare al segno nel segnale d'uscita. Infatti, il precarico induce una tensione iniziale che progressivamente scompare.

## Come viene resa disponibile l'uscita di accelerometro Piezoelettrico?

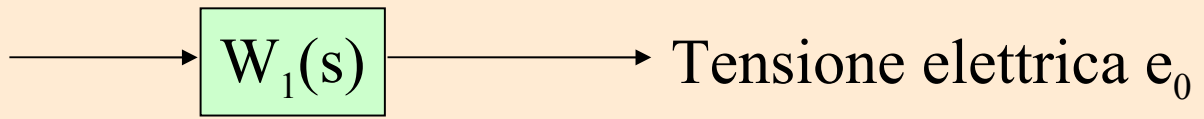
O come il valore della carica (sensibilità: Pico-Coulomb /g) che viene poi elaborata da una unità esterna di amplificazione della carica o attraverso l'utilizzo di una elettronica supplementare nell'accelerometro è fornita una uscita analogica in Voltaggio. (accelerometro IEPE o ICP)



## Funzione di trasferimento di un accelerometro

Alla  $W(s)$  del sistema massa-molla-smorzatore bisogna aggiungere la funzione di trasferimento del trasduttore di spostamento relativo  $W_1(s)$

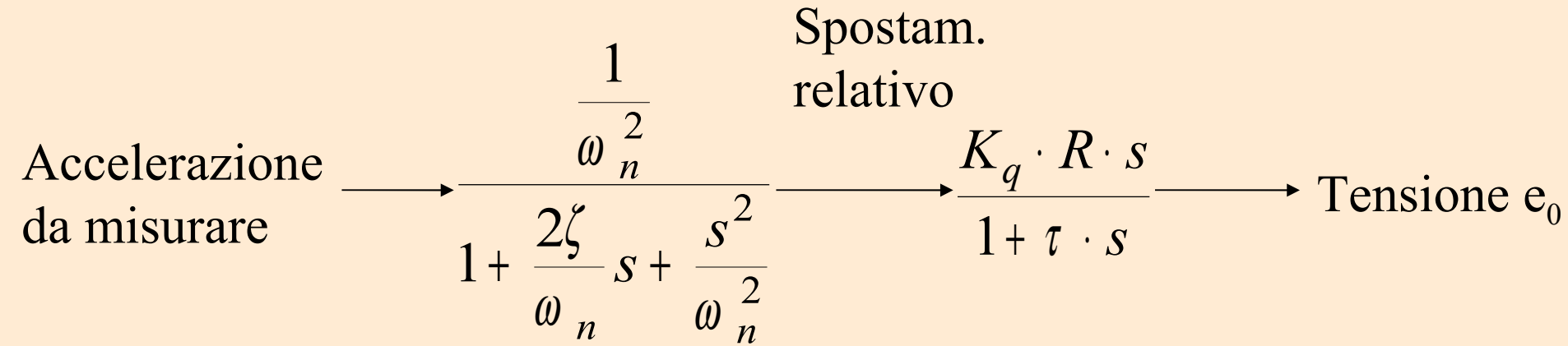
Spostamento relativo  
tra massa sismica e  
base di fissaggio  
dell'accelerometro



La  $W_1(s)$  dipende dal tipo di trasduttore di spostamento relativo:

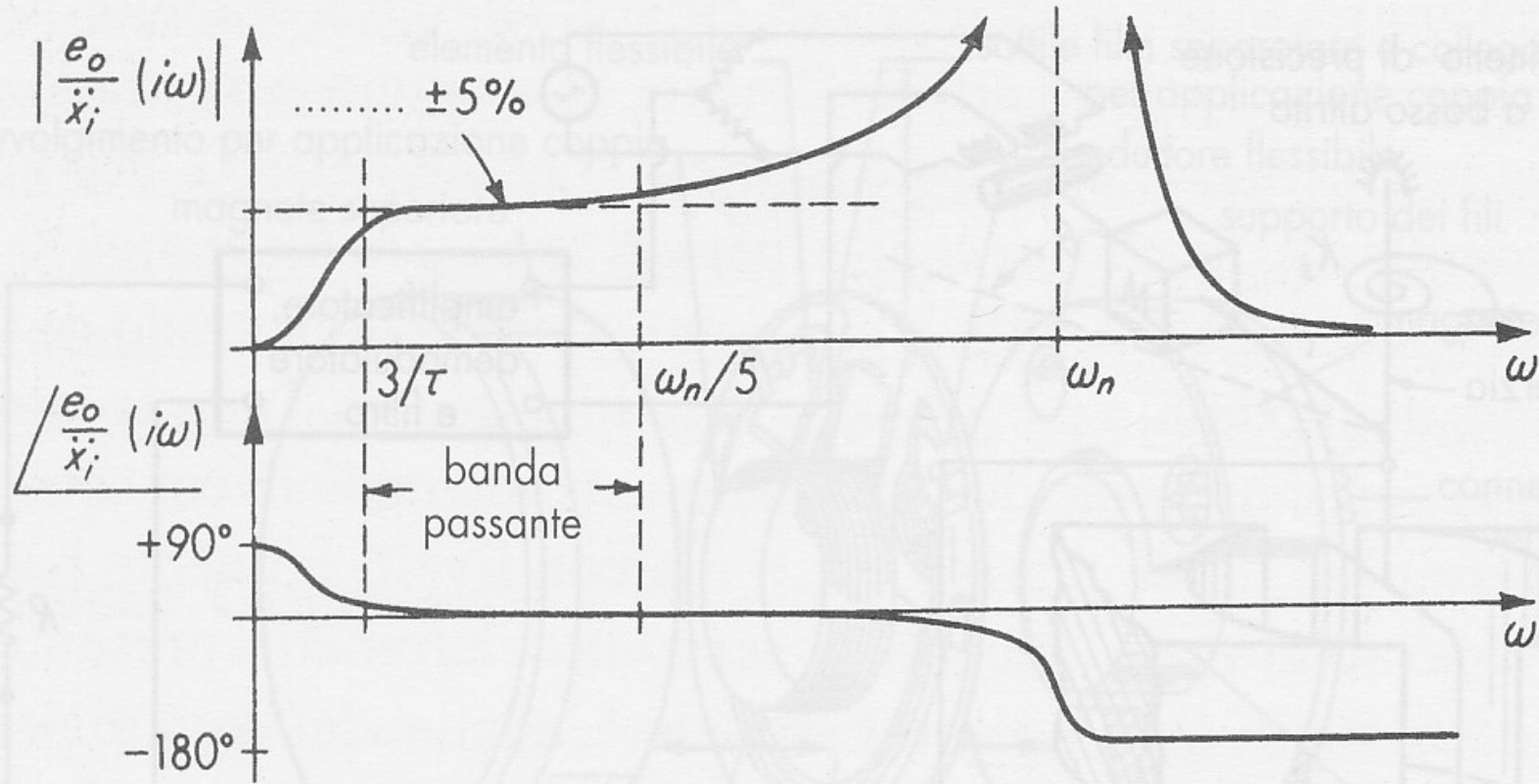
- Può essere una costante  $K_e$  per molti trasduttori;
- è un sistema del I ordine passa alto per i trasduttori piezoelettrici.

## Funzione di trasferimento di accelerometri piezoelettrici

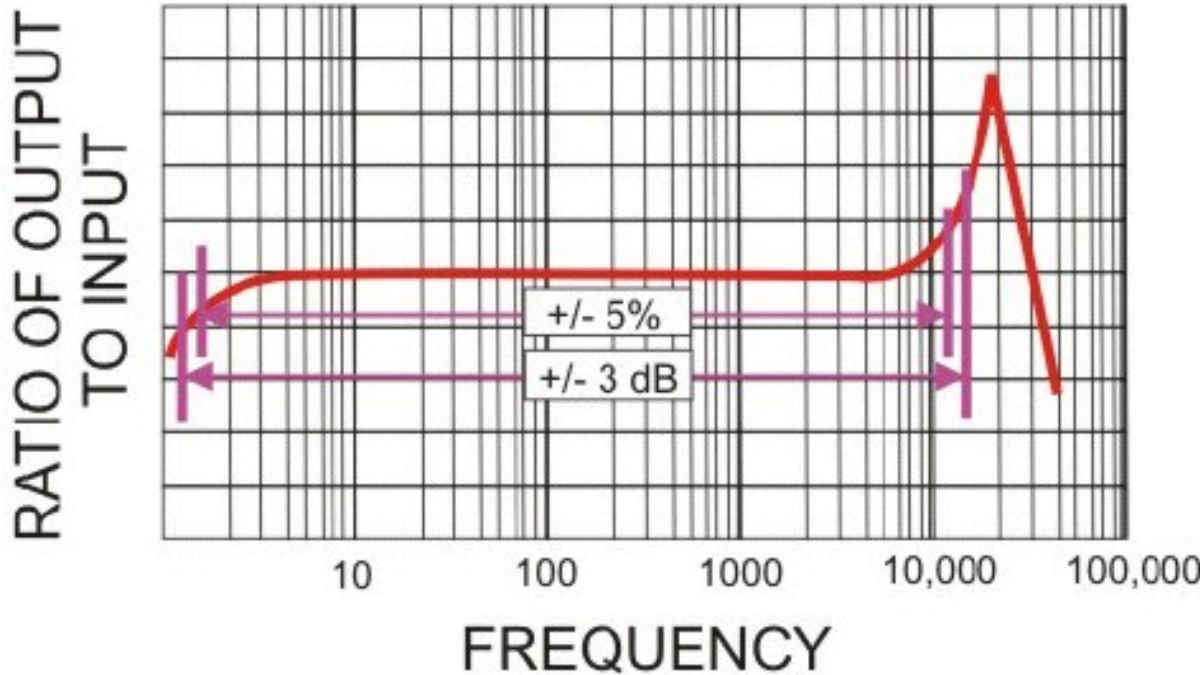


Accelerazione da misurare →  $\frac{\frac{K_q \cdot R}{\omega_n^2} \cdot s}{\left(1 + \frac{2\zeta}{\omega_n} s + \frac{s^2}{\omega_n^2}\right) \cdot (1 + \tau \cdot s)}$  → Tensione  $e_0$

# Risposta in frequenza di accelerometri piezoelettrici



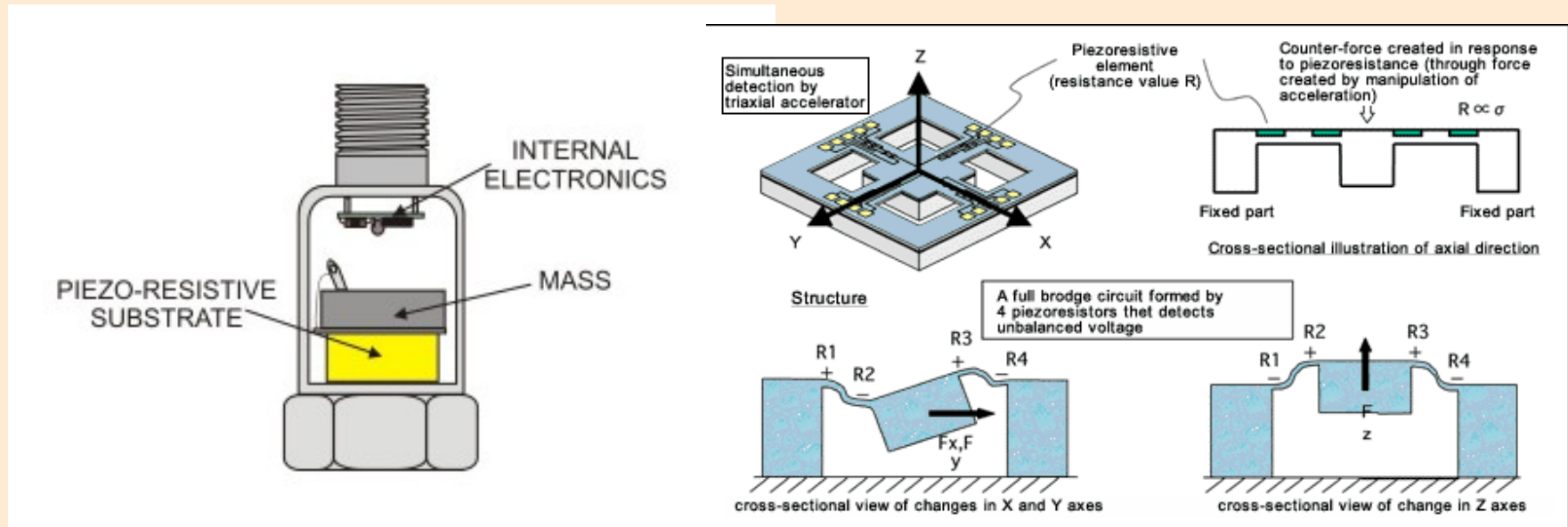
Risposta in frequenza per accelerometri piezoelettrici



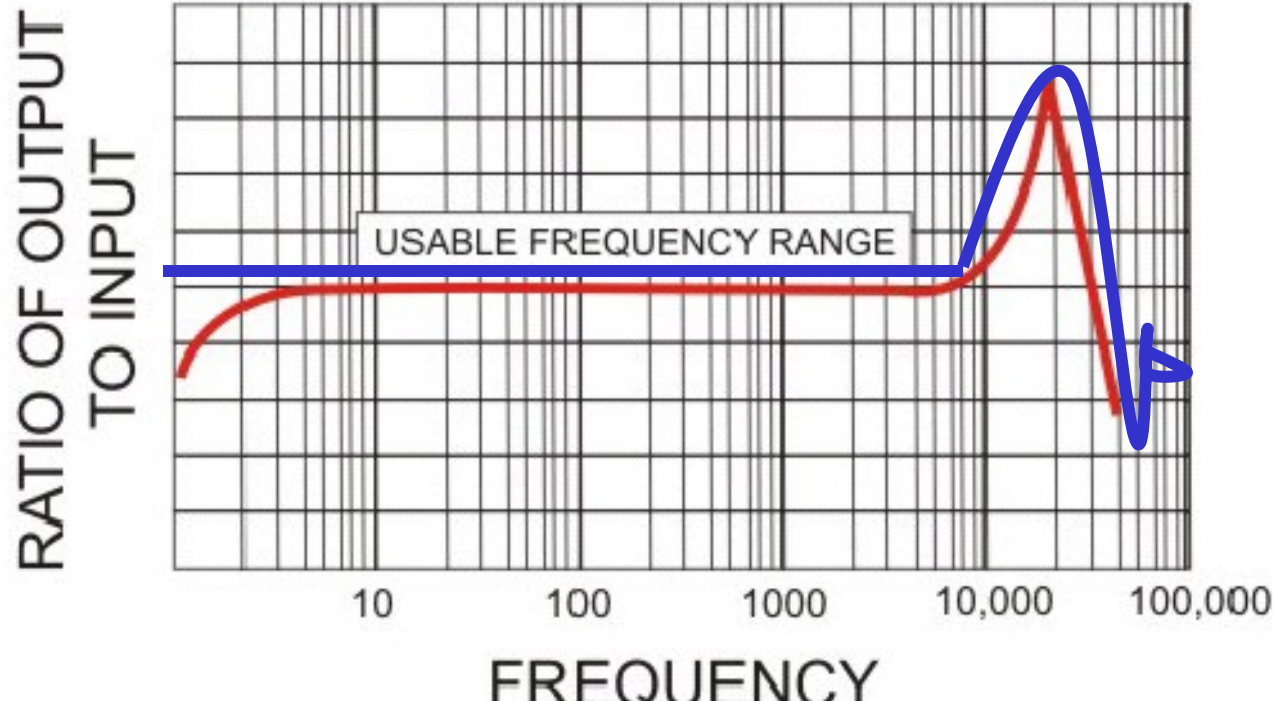
The usable frequency response is the flat area of the frequency response curve and extends to approximately 1/3 to ½ of the natural frequency. The definition of flat also needs to be qualified and is done so by quoting the roll off of the curve in either percentage terms (typically 5% or 10%) or in dB terms (typically +/- 3db)

Per ovviare al problema a basse frequenze (ovvero per leggere accelerazioni costanti) si possono utilizzare accelerometri piezoresistivi che utilizzano un substrato piezoresistivo invece di un substrato piezoelettrico.

In questo caso la variazione di resistenza viene di solito letta in un ponte di Whetstone.

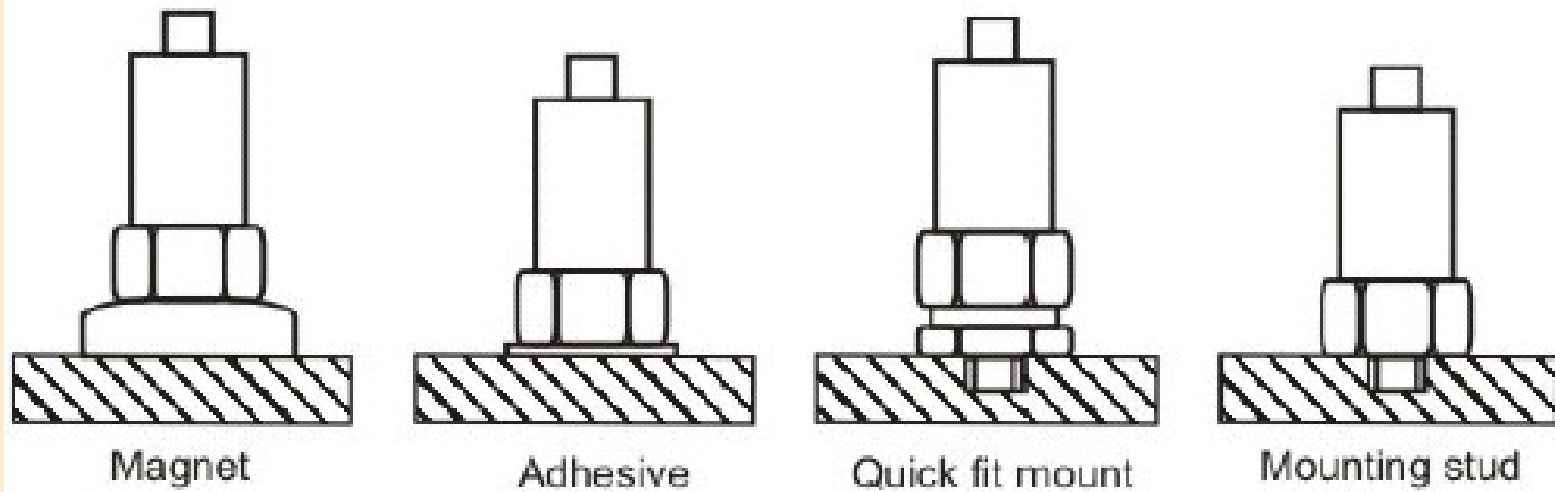
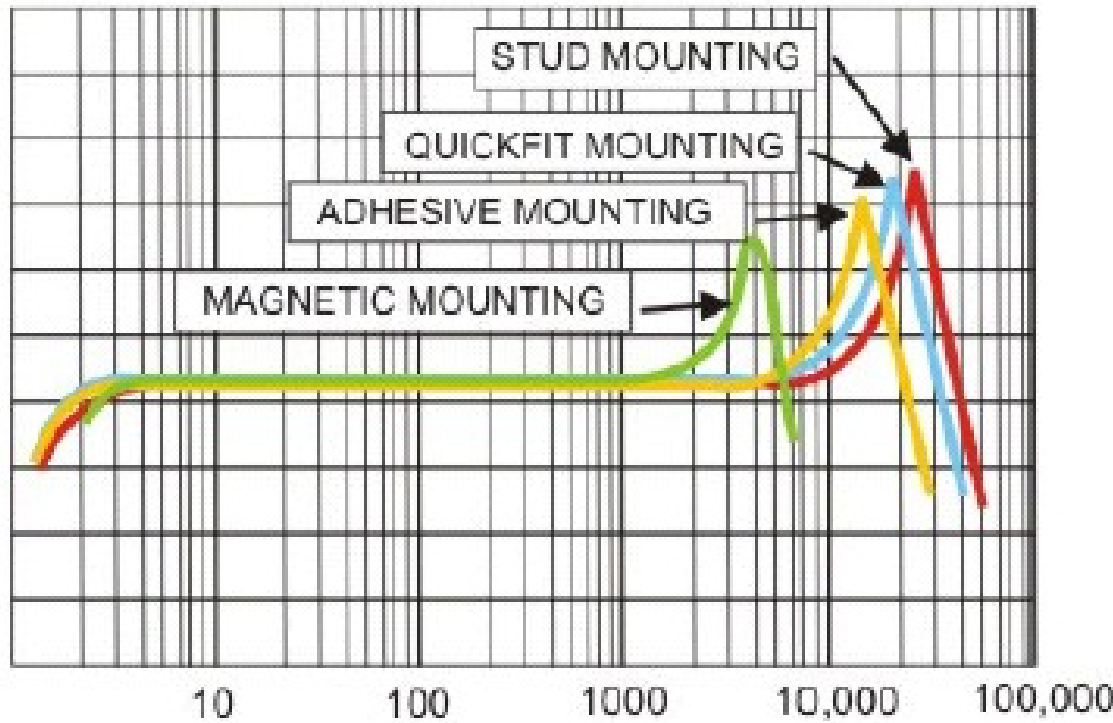


piezo-resistive



Typical Piezo-electric frequency response curve.

Accelerometer Type	Advantages	Disadvantages
Single ended compression	Robust Highest natural frequency High shock resistance	Poor base strain characteristics
Isolated base compression	Robust High natural frequency	Better base strain performance
Shear	Best base strain performance Best temperature transients immunity Smallest size	Less robust Lower shock resistance
Charge output	High temperature operation Suitable for radiation environments Small size	Requires local charge amplifier Susceptible to tribo-electric effect
Piezo-resistive	Measures down to zero Hz	Limited high frequency response
Strain Gage based	Measures down to zero Hz High shock resistance	Limited high frequency response



## **Navigation**

Highest inertial navigation-grade performance sensors



## **Control**

Cost-effective inertial-grade sensors



## **Measurement**

Economical sensor for moderate performance

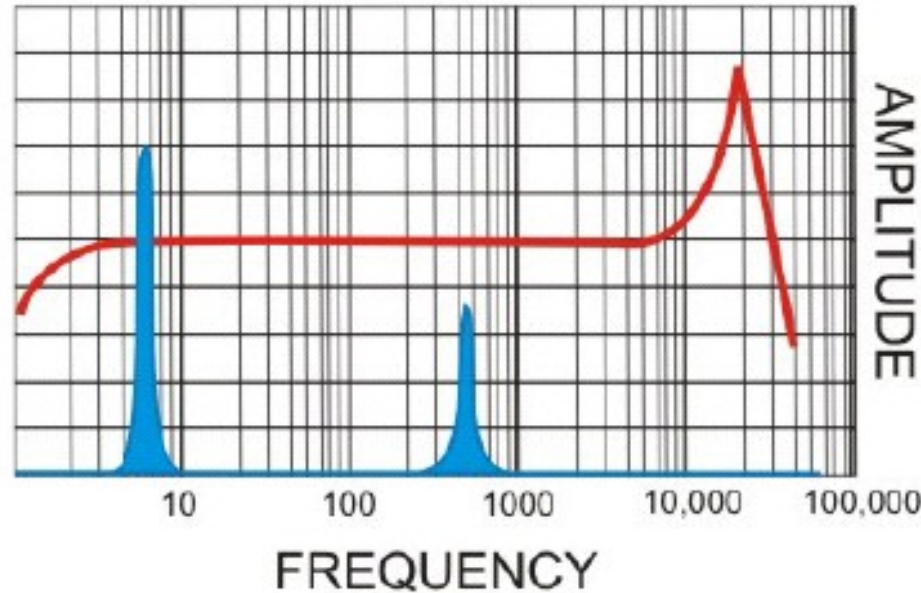


## **Energy**

Performs in demanding down-hole applications (MWD)



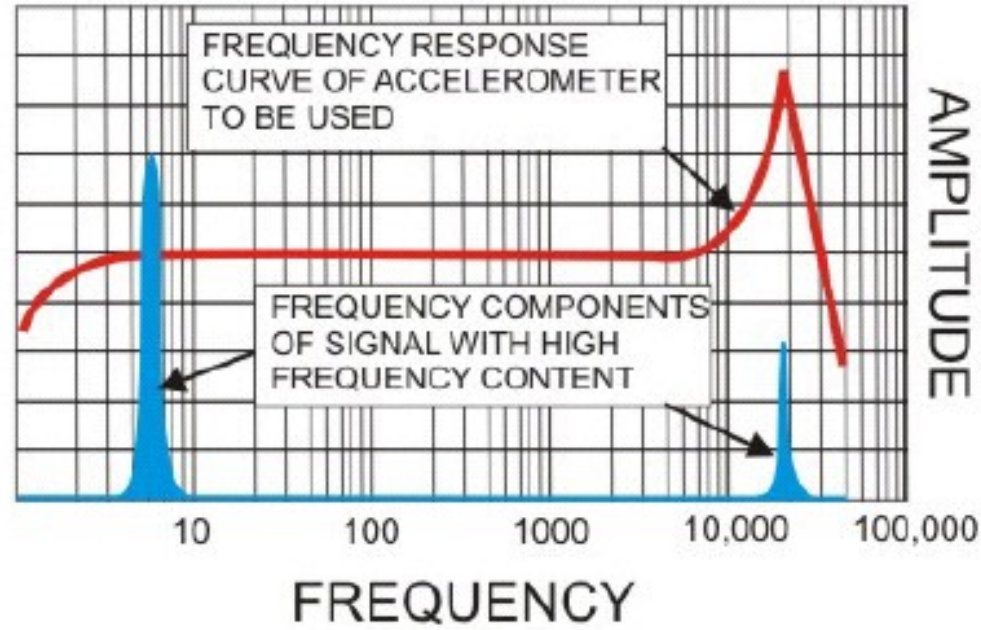
RATIO OF OUTPUT  
TO INPUT



AMPLITUDE

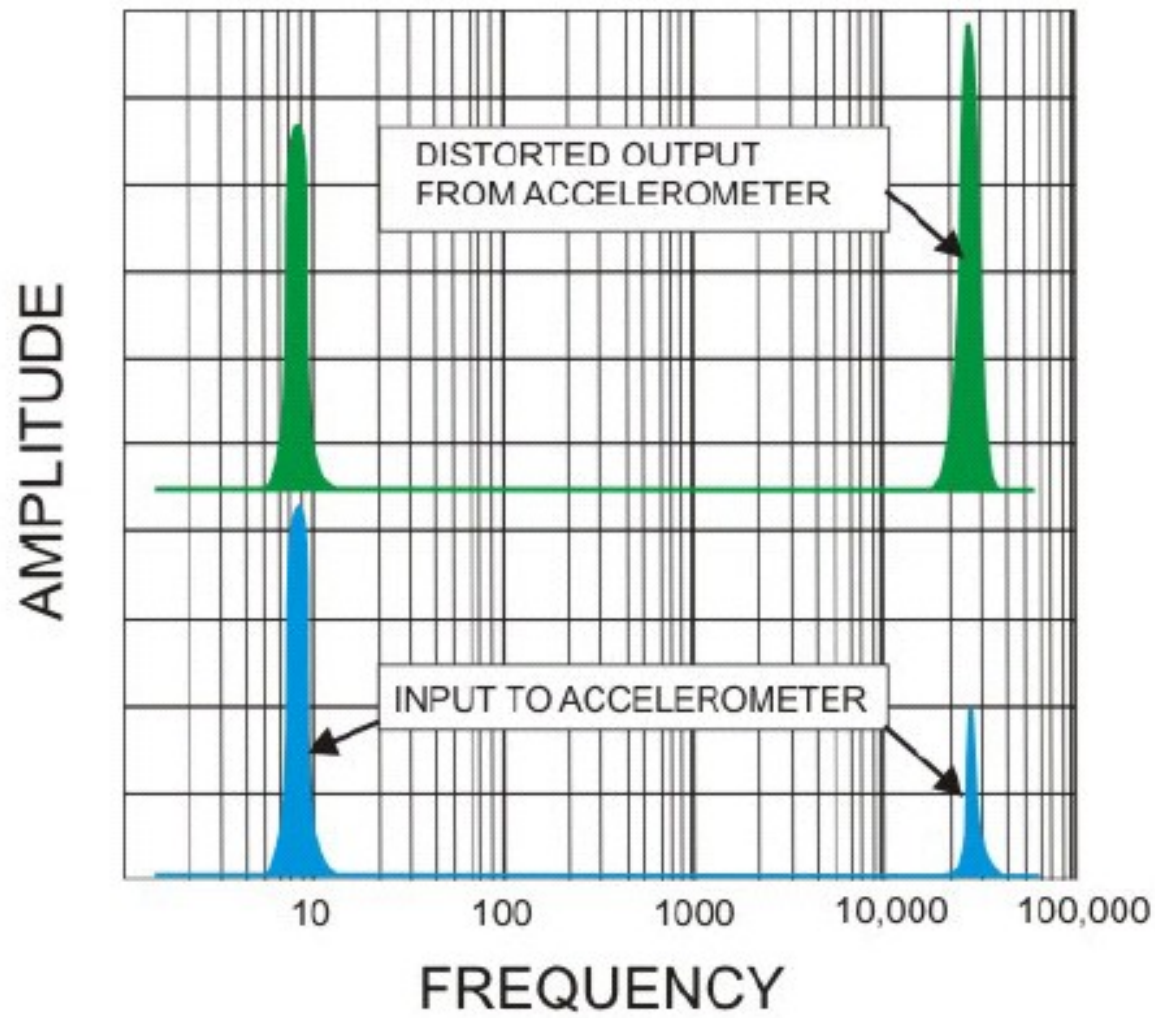
FREQUENCY

RATIO OF OUTPUT  
TO INPUT

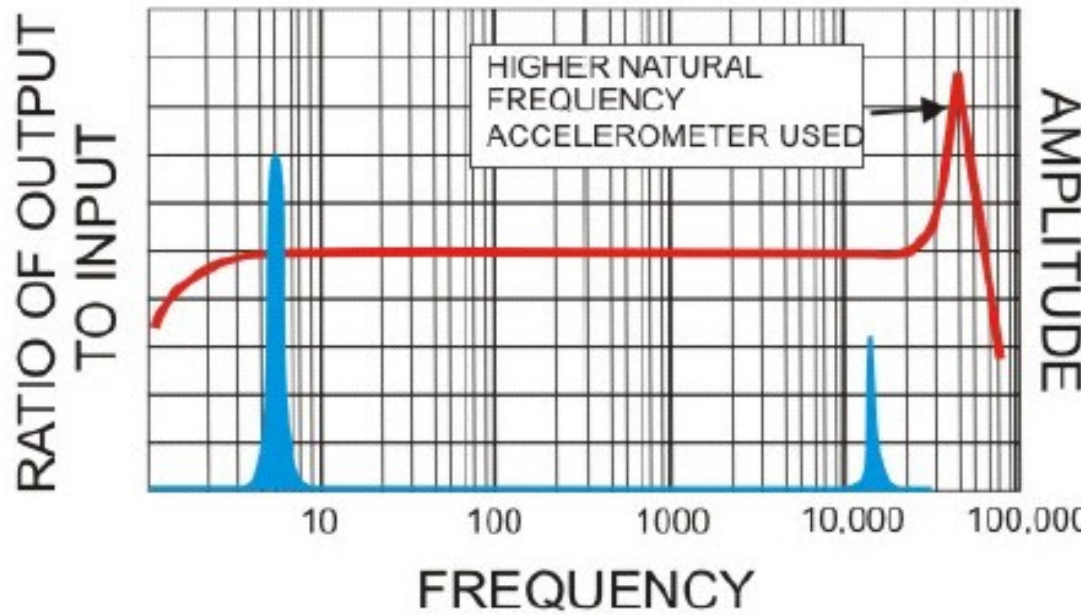


AMPLITUDE

FREQUENCY

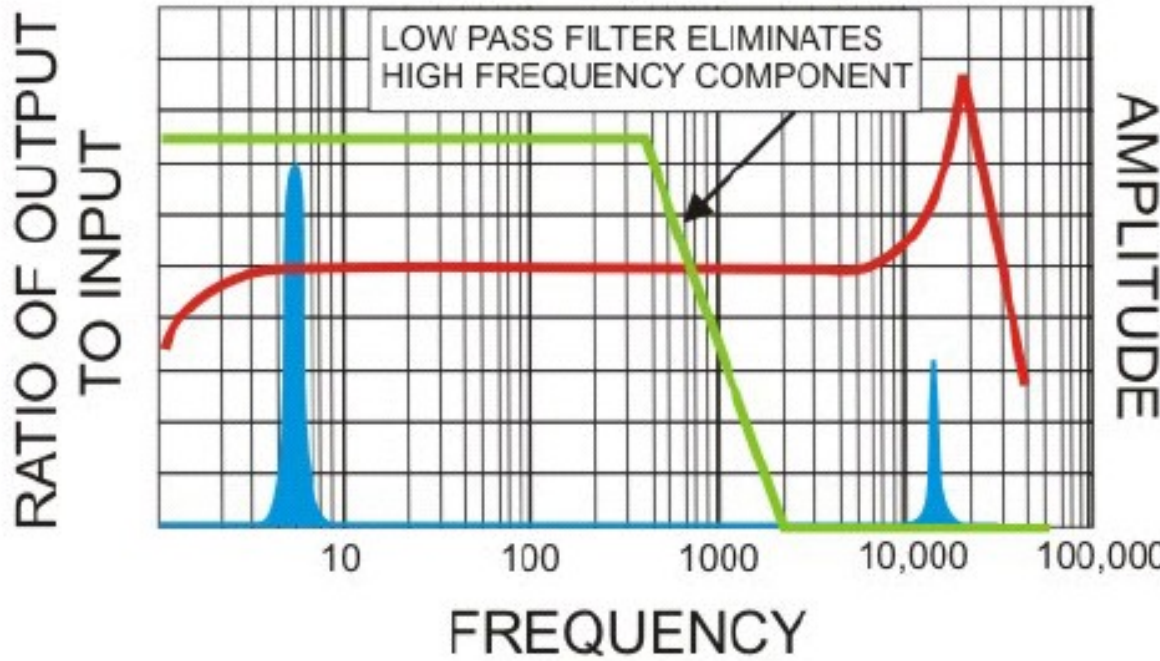


Acceleration signal is misrepresented by non-unity gain of the higher frequencies



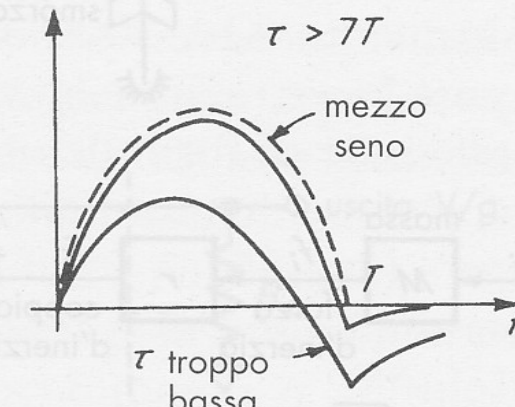
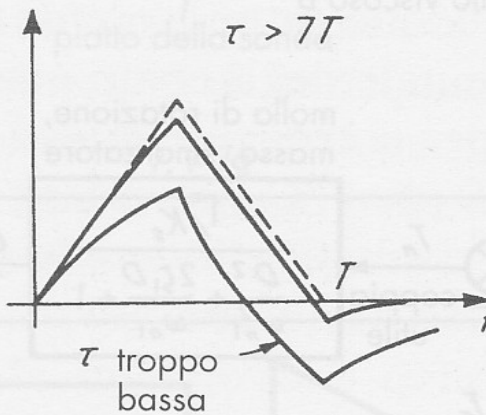
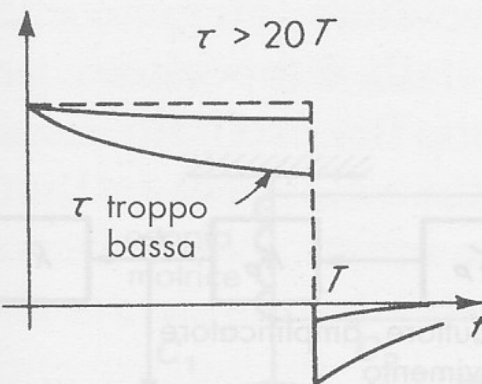
A higher natural frequency accelerometer solves the problem of measuring high frequency accelerations

If the higher frequencies are not required to be measured then using a low pass filter should filter them out.



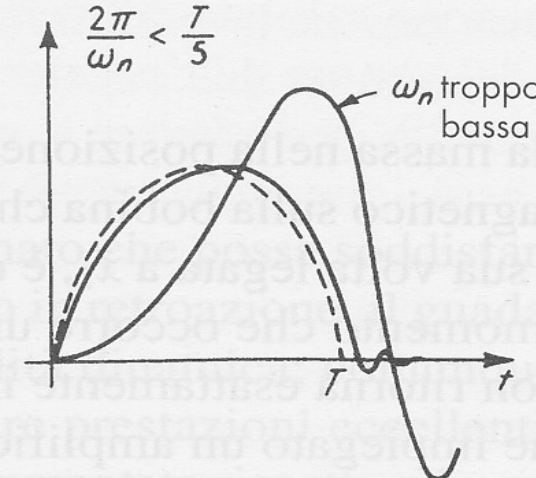
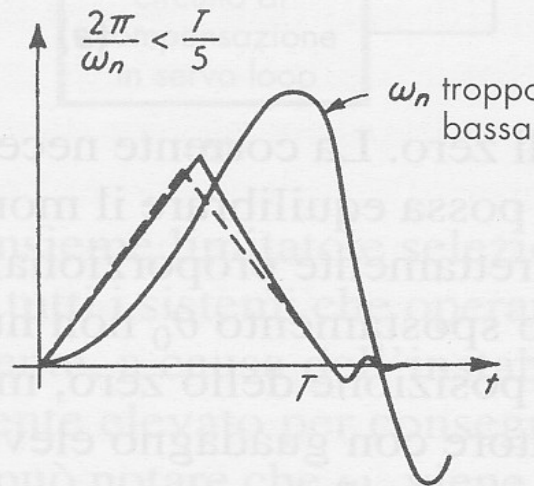
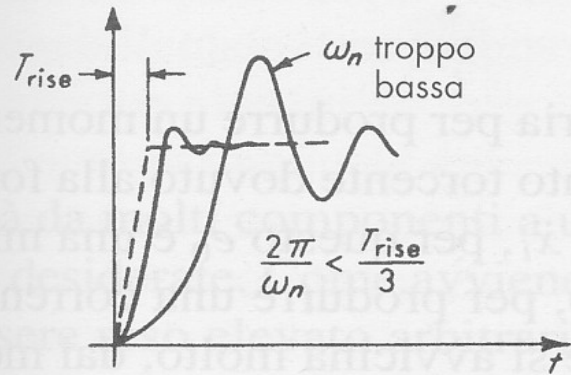
A low pass filter removes high frequency components of the measured signal

# Specifiche sul comportamento dinamico di uno strumento



Specifiche per misure di picchi con accuratezza del  $\pm 5\%$

Problemi di risposta a bassa frequenza (solo piezoelettrici)



Specifiche per misure di picchi con accuratezza del  $\pm 10\%$

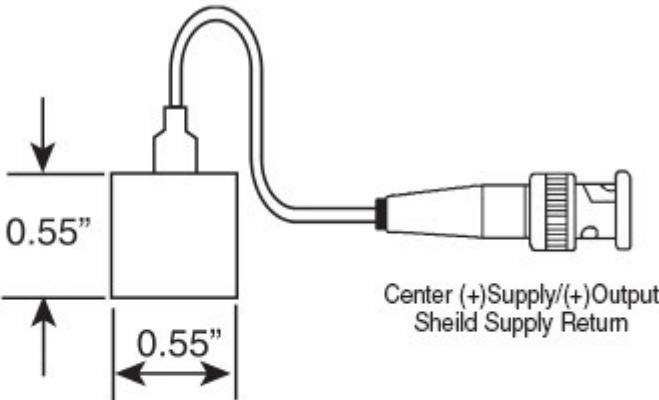
Problemi di risposta ad alta frequenza (tutti gli accelerometri)

## Esempi accelerometri



# Esempi accelerometri

## Specifications



### Order Code AG914

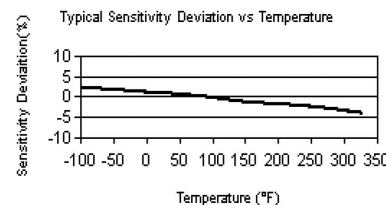
Sensitivity .....	1 V/g
Usable frequency range .....	5 kHz to 14 kHz $\pm 10\%$
Mounted base resonance.....	25 kHz
Dynamic range .....	$\pm 10$ g
Temperature sensitivity .....	0.145 per degree F
Transverse sensitivity.....	5% max
Amplitude linearity .....	Better than 1% linearity
Temperature range.....	-70° F to 250° F
Sealing .....	IP 65/Nema 2
Input .....	Constant current
Supply voltage.....	18-30 V
Current range .....	0.5 mA to 8 mA
Bias voltage.....	12 V
Cable .....	PTFE
Standard cable length .....	16 ft.
Isolation .....	Base isolated
Weight .....	0.3 oz.
Case material .....	HE 30 Aluminum
Mounting.....	beeswax or adhesive
Different sensitivity.....	100 mV/g
Cable length .....	Specify at time of ordering

# Esempi accelerometri

## ACCELEROMETER, ICP®

Revision B  
ECN #: 14822

	ENGLISH	SI	
Performance			
Sensitivity ( $\pm 10\%$ )	5 mV/g	0.51 mV/(m/s <sup>2</sup> )	
Measurement Range	$\pm 1000$ g pk	$\pm 9810$ m/s <sup>2</sup> pk	
Frequency Range ( $\pm 5\%$ )	2.0 to 10000 Hz	2.0 to 10000 Hz	
Frequency Range ( $\pm 10\%$ )	1.5 to 18000 Hz	1.5 to 18000 Hz	
Frequency Range ( $\pm 3$ dB)	0.7 to 30000 Hz	0.7 to 30000 Hz	
Resonant Frequency	$\geq 60$ kHz	$\geq 60$ kHz	
Broadband Resolution (1 to 10000 Hz)	0.02 g rms	0.02 m/s <sup>2</sup> rms	[1]
Non-Linearity	$\leq 1\%$	$\leq 1\%$	[2]
Transverse Sensitivity	$\leq 5\%$	$\leq 5\%$	[3]
Environmental			
Overload Limit (Shock)	$\pm 10000$ g pk	$\pm 98100$ m/s <sup>2</sup> pk	
Temperature Range (Operating)	-100 to +325 °F	-73 to +163 °C	
Temperature Response	See Graph	See Graph	[1]
Base Strain Sensitivity	$\leq 0.0005$ g/ $\mu\epsilon$	$\leq 0.005$ (m/s <sup>2</sup> )/ $\mu\epsilon$	[1]
Electrical			
Excitation Voltage	18 to 30 VDC	18 to 30 VDC	
Constant Current Excitation	2 to 20 mA	2 to 20 mA	
Output Impedance	$\leq 100$ ohm	$\leq 100$ ohm	
Output Bias Voltage	8 to 12 VDC	8 to 12 VDC	
Discharge Time Constant	0.25 to 1 sec	0.25 to 1 sec	
Spectral Noise (10 Hz)	1600 $\mu$ g/ $\sqrt{Hz}$	15696 ( $\mu$ m/s <sup>2</sup> )/ $\sqrt{Hz}$	[1]
Spectral Noise (100 Hz)	840 $\mu$ g/ $\sqrt{Hz}$	8240 ( $\mu$ m/s <sup>2</sup> )/ $\sqrt{Hz}$	[1]
Spectral Noise (1 kHz)	60 $\mu$ g/ $\sqrt{Hz}$	589 ( $\mu$ m/s <sup>2</sup> )/ $\sqrt{Hz}$	[1]
Physical			
Sensing Element	Quartz	Quartz	
Sensing Geometry	Shear	Shear	
Housing Material	Titanium	Titanium	
Sealing	Welded Hermetic	Welded Hermetic	
Weight	0.07 oz	2.0 gm	[1]
Electrical Connector	5-44 Coaxial Side	5-44 Coaxial Side	
Electrical Connection Position	5-40 Male	5-40 Male	
Mounting Thread	8 to 12 in-lb	90 to 135 N-cm	
Mounting Torque			



All specifications are at room temperature unless otherwise specified.

In the interest of constant product improvement, we reserve the right to change specifications without notice.

ICP® is a registered trademark of PCB group, Inc.

**Optional Versions** (Optional versions have identical specifications and accessories as listed for standard model except where noted below. More than one option maybe used.)

### A - Adhesive Mount

[5]

Supplied Accessory: Model 080A90 Quick bond Gel (for use with accelerometer adhesive mtg bases to fill gaps on rough surfaces)

### J - Ground Isolated

Frequency Range (5 %)	8 kHz	8 kHz
Frequency Range (10 %)	12 kHz	12 kHz
Frequency Range (3 dB)	25 kHz	25 kHz
Resonant Frequency	$\geq 50$ kHz	$\geq 50$ kHz
Electrical Isolation (Base)	$>10^8$ ohm	$>10^8$ ohm
Size (Hex x Height)	0.38 in x 0.38 in	9.7 mm x 9.7 mm
Weight	0.11 oz	3.1 gm

### M - Metric Mount

Supplied Accessory: Model M080A15 Metric adhesive base, 0.31" hex x 0.125" thk, M3 x 0.50 thd, aluminum with insulating hardcoat finish

### W - Water Resistant Cable

Electrical Connector	Sealed Integral Cable	Sealed Integral Cable
Electrical Connection Position	Side	Side

### Notes

[1] Typical.

[2] Zero-based, least-squares, straight line method.

[3] Transverse sensitivity is typically  $\leq 3\%$ .

[4] See PCB Declaration of Conformance PS023 for details.

[5] Mounting stud removed, adhesive mounting base not required.

### Supplied Accessories

080A109 Petro Wax (1)

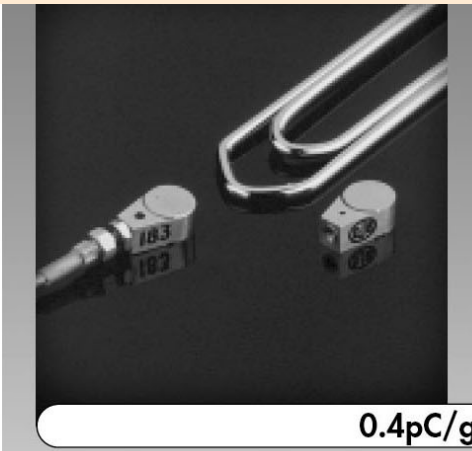
080A15 Adhesive Mounting Base (1)

ACS-1 NIST traceable frequency response (10 Hz to upper 5% point). (1)

Entered: RJL	Engineer: DJS	Sales: SGL	Approved: EJV	Spec Number:
Date: 05/29/2002	Date: 05/29/2002	Date: 05/29/2002	Date: 05/29/2002	12001



Address: 3425 Walden Avenue  
Depew, NY 14043  
United States  
Phone: 888-684-0013  
Fax: 716-685-3886  
E-mail: vibration@pcb.com  
Web site: www.pcb.com



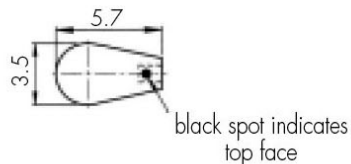
## Micro-miniature piezo-electric accelerometer

**A/28/E**

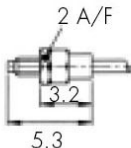
0.4pC/g nom. • 0.25gm wt. • 200°C max. temp.

**A/28/E**

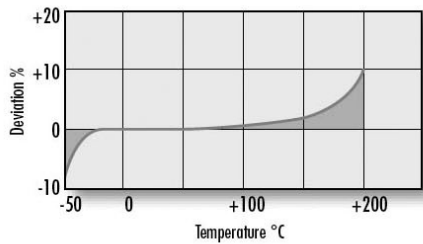
**L8 CONNECTOR**



dims. mm

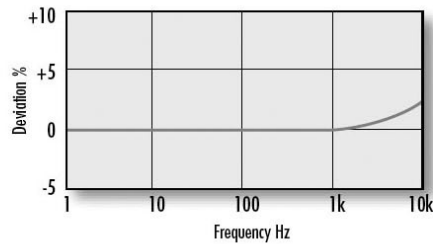


**TEMPERATURE  
RESPONSE**



**FREQUENCY RESPONSE**

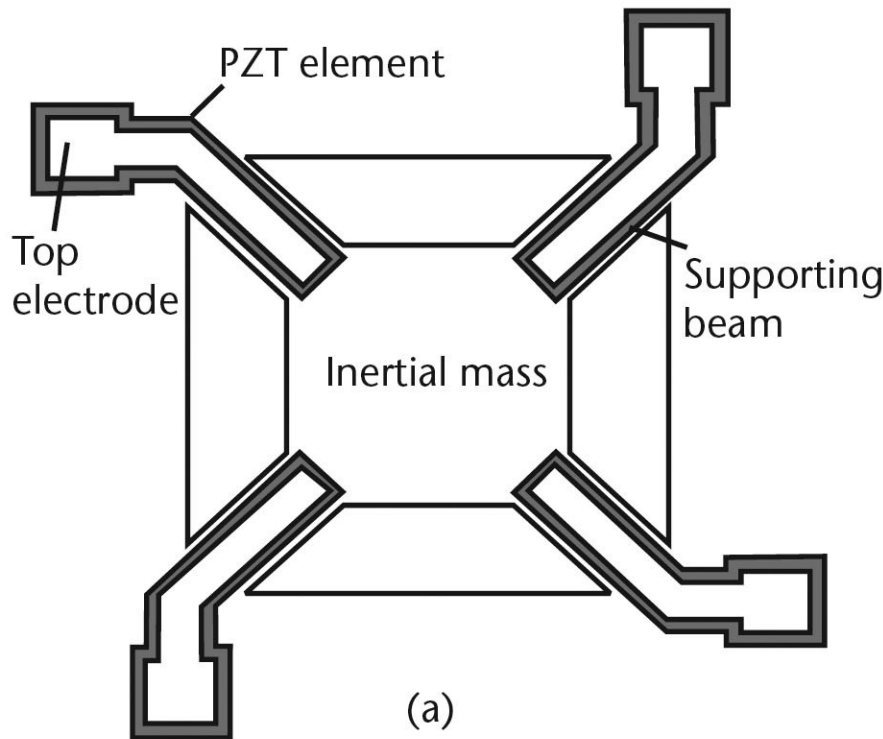
Results obtained using loctite 496 adhesive



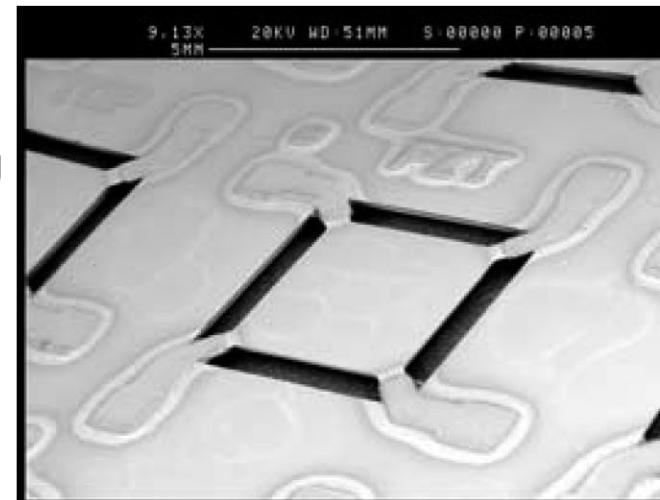
### CONVERSION MODE

KONIC
Charge sensitivity pC/g
250/420
Resonant frequency kHz
> 45
Cross axis error % max
5
Temperature range °C
-50/+200
Charge sensitivity
-5 % @ -50°C
deviation re 20°C
+10 % @ +200°C
Max continuous accn. g sine
5000
Max shock g pk., rise time μ sec.
10000, 20
Case material
s/steel 303 S31
Mounting
adhesive
Weight gm
0.25
Connector
L8
Case seal
welded

## Esempi accelerometri MEMS



(a)



(b)

**Figure 8.12** (a) Design of a piezoelectric accelerometer using thick-film printed PZT. (b) SEM photograph of the sensing element.

## Esempi accelerometri MEMS

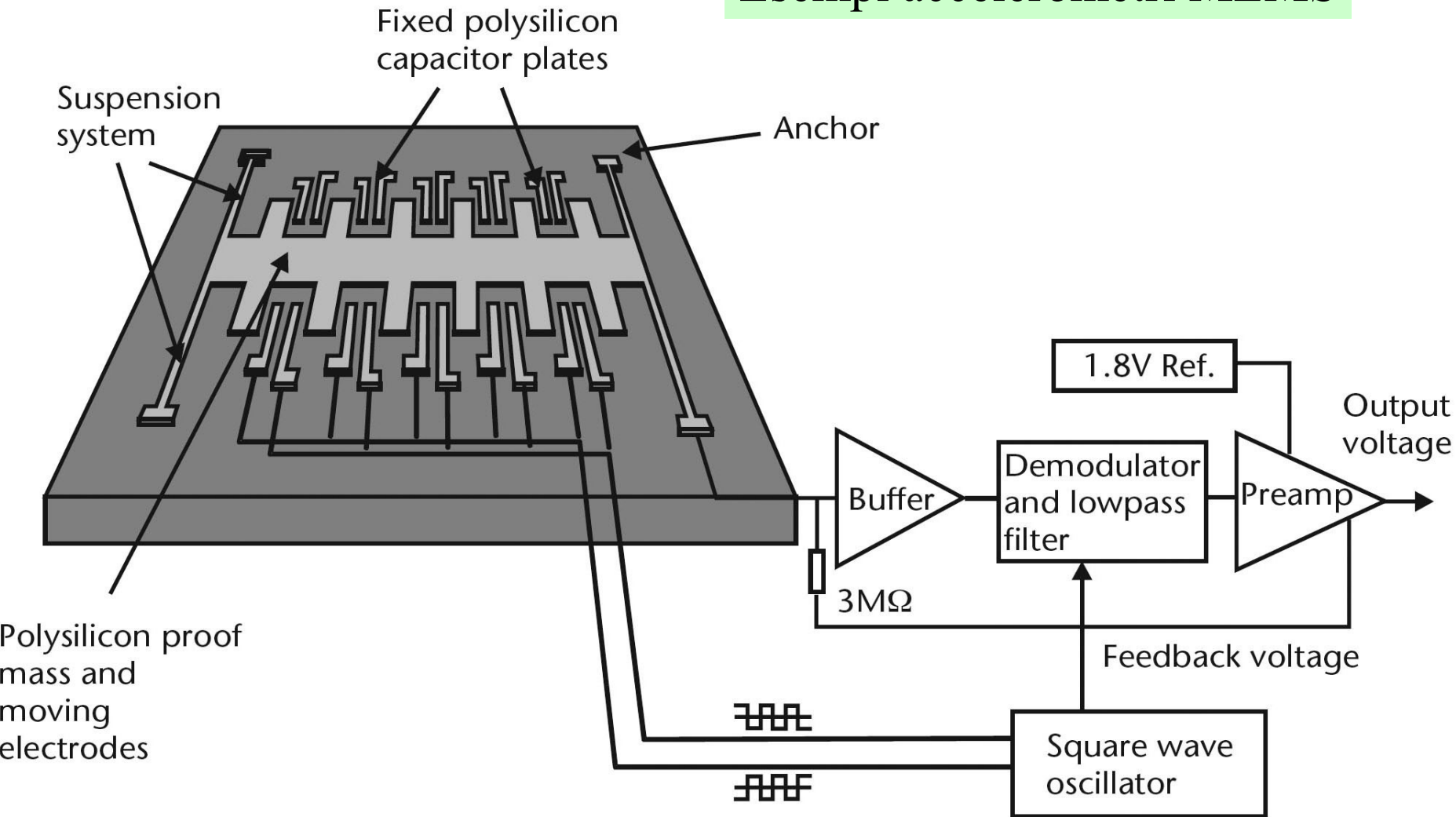
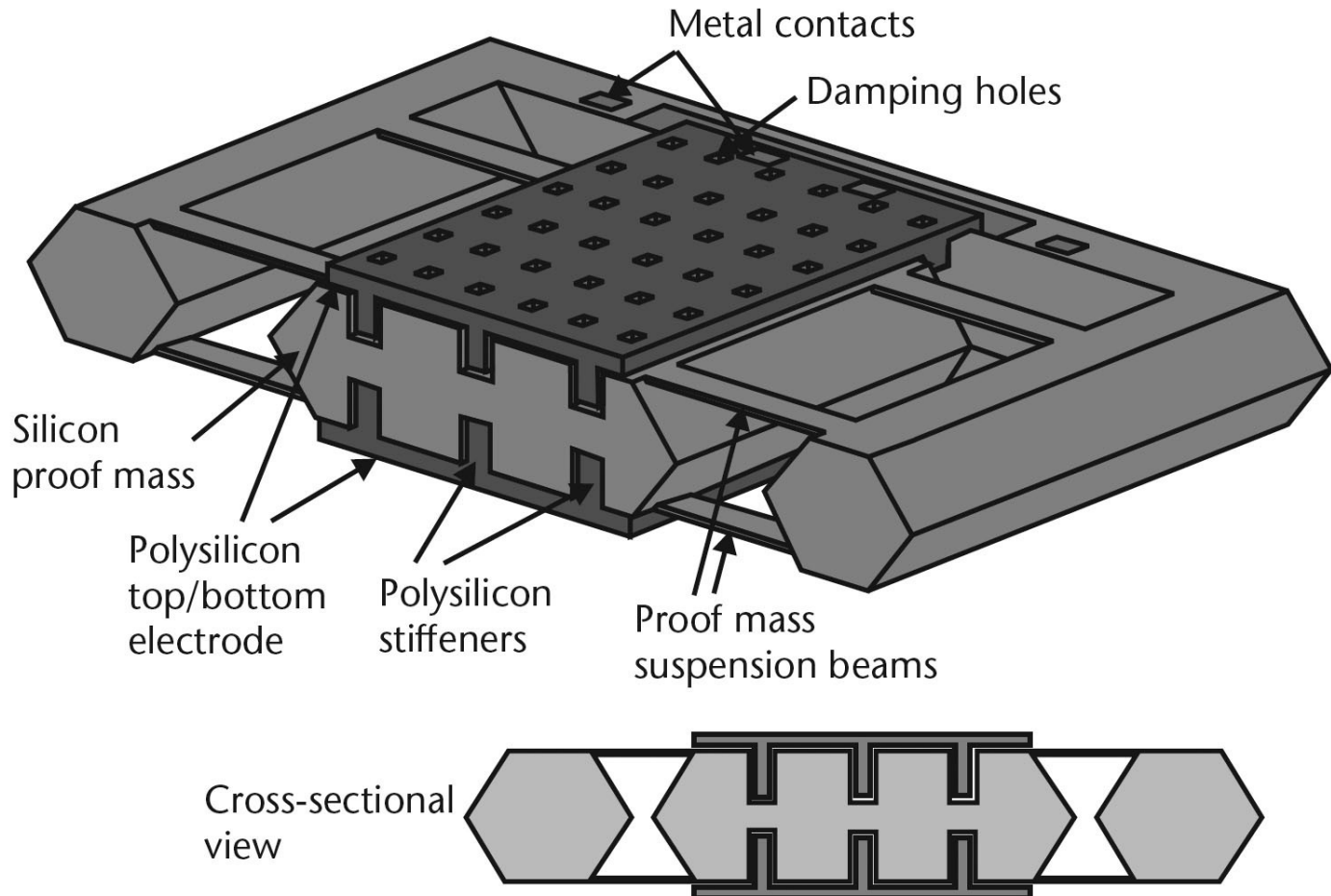


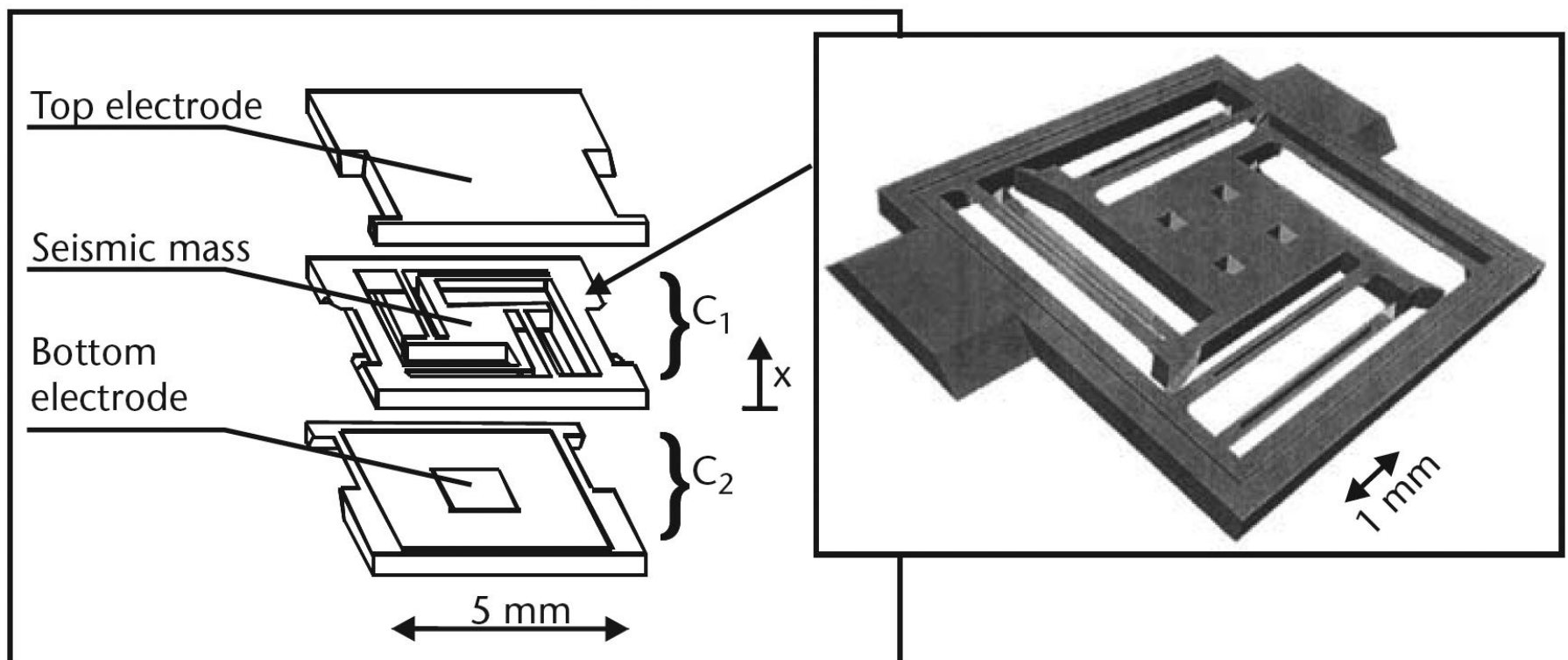
Figure 8.17 Block diagram of the ADXL50 accelerometer.

## Esempi accelerometri MEMS



**Figure 8.11** High-performance capacitive accelerometer using a combination of surface and bulk-micromachining techniques. The polysilicon electrodes include stiffening ribs. (After: [33].)

## Esempi accelerometri MEMS



A bulk-micromachined accelerometer with capacitive signal pick-off.

## Classificazione accelerometri:

1. Tecnologia classica: risposta costante per  $\omega=0$ 
  - Con potenziometro
  - Con LVDT
  - Con estensimetri incollati
  - Con estensimetri non incollati
  - Con trasduttore capacitivo
1. Tecnologia classica: risposta nulla per  $\omega=0$ 
  - Con trasduttori piezoelettrici
1. Tecnologia MEMS: risposta costante per  $\omega=0$ 
  - Con trasduttore capacitivo
  - Con traduttore piezoresistivo

# Servo-accelerometri

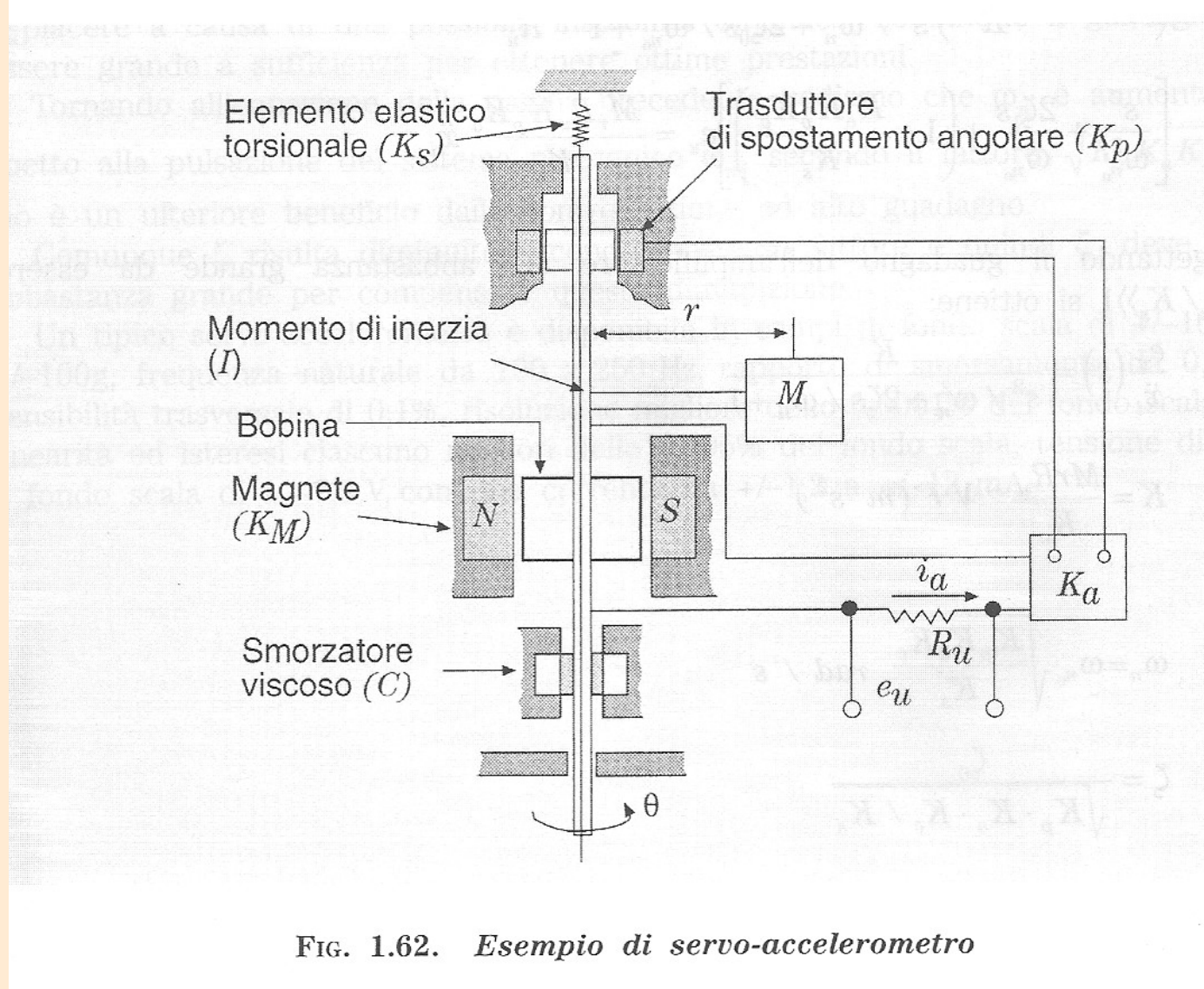


FIG. 1.62. Esempio di servo-accelerometro

# Servo-accelerometri

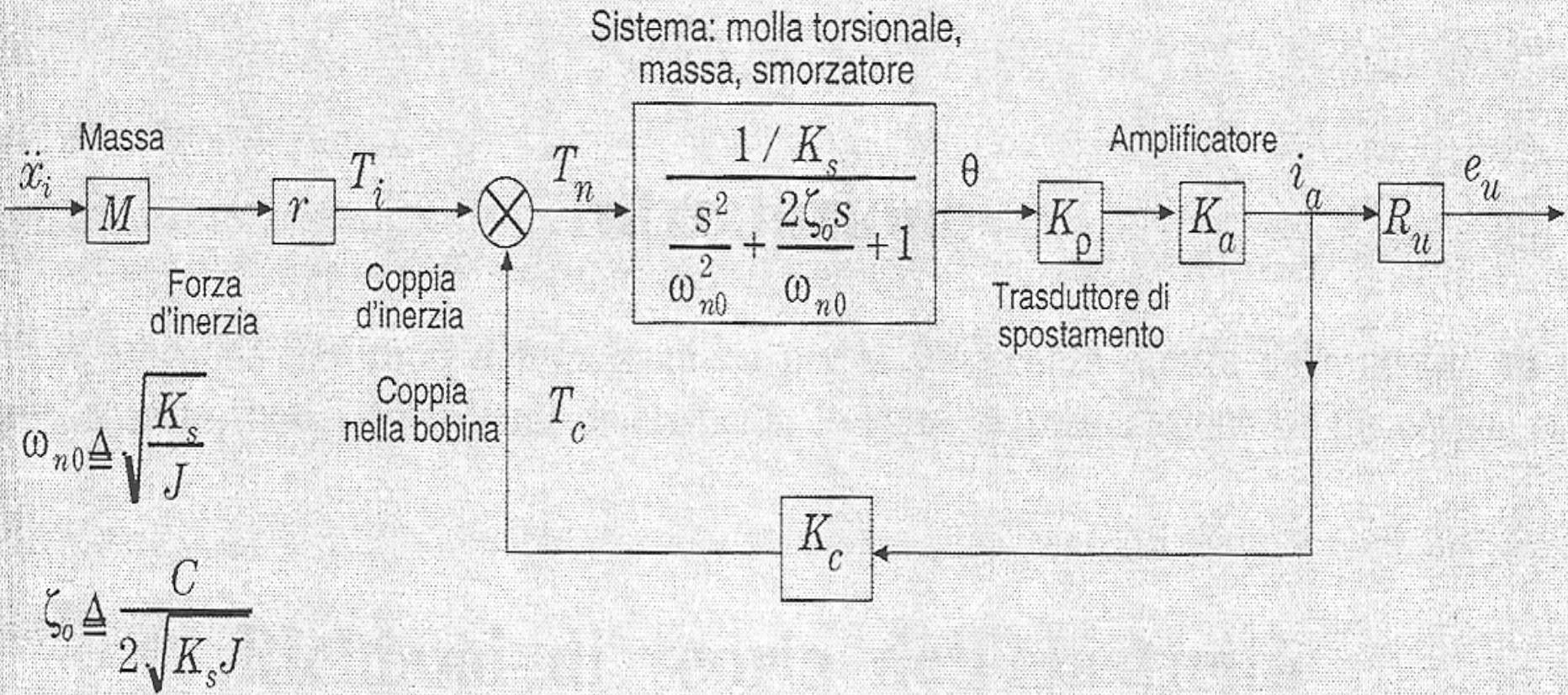


FIG. 1.63. Diagramma a blocchi dello schema funzionale  
di un servo-accelerometro

## Servo-accelerometri

$$\left( Mr\ddot{x}_i - \frac{e_u K_c}{R_u} \right) \frac{K_p K_a / K_s}{s^2 / \omega_{n_0}^2 + 2\zeta_0 s / \omega_{n_0} + 1} = \frac{e_u}{R_u}$$

$$\left[ \frac{s^2}{\omega_{n_0}^2} + \frac{2\zeta_0 s}{\omega_{n_0}} + \left( 1 + \frac{K_c K_p K_a}{K_s} \right) \right] e_u = \frac{Mr R_u K_p K_a}{K_s} \ddot{x}_i$$

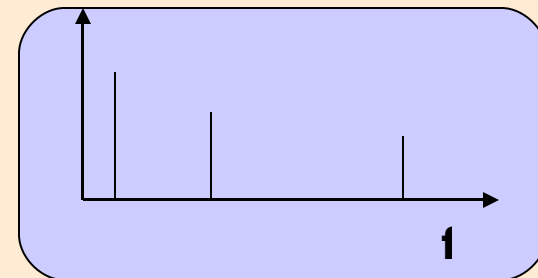
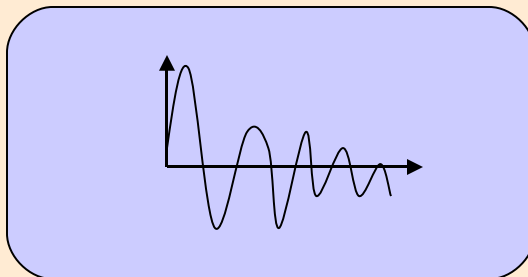
$$\frac{e_u}{\ddot{x}_i}(s) = \frac{K}{s^2 / \omega_n^2 + 2\zeta s / \omega_n + 1}$$

$$K = \frac{Mr R_u}{K_c} \quad V / (m \cdot s^2)$$

$$\omega_n = \omega_{n_0} \sqrt{\frac{K_p K_a K_c}{K_s}} \quad rad / s$$

$$\zeta = \frac{\zeta_0}{\sqrt{K_p \cdot K_a \cdot K_c / K_s}}$$

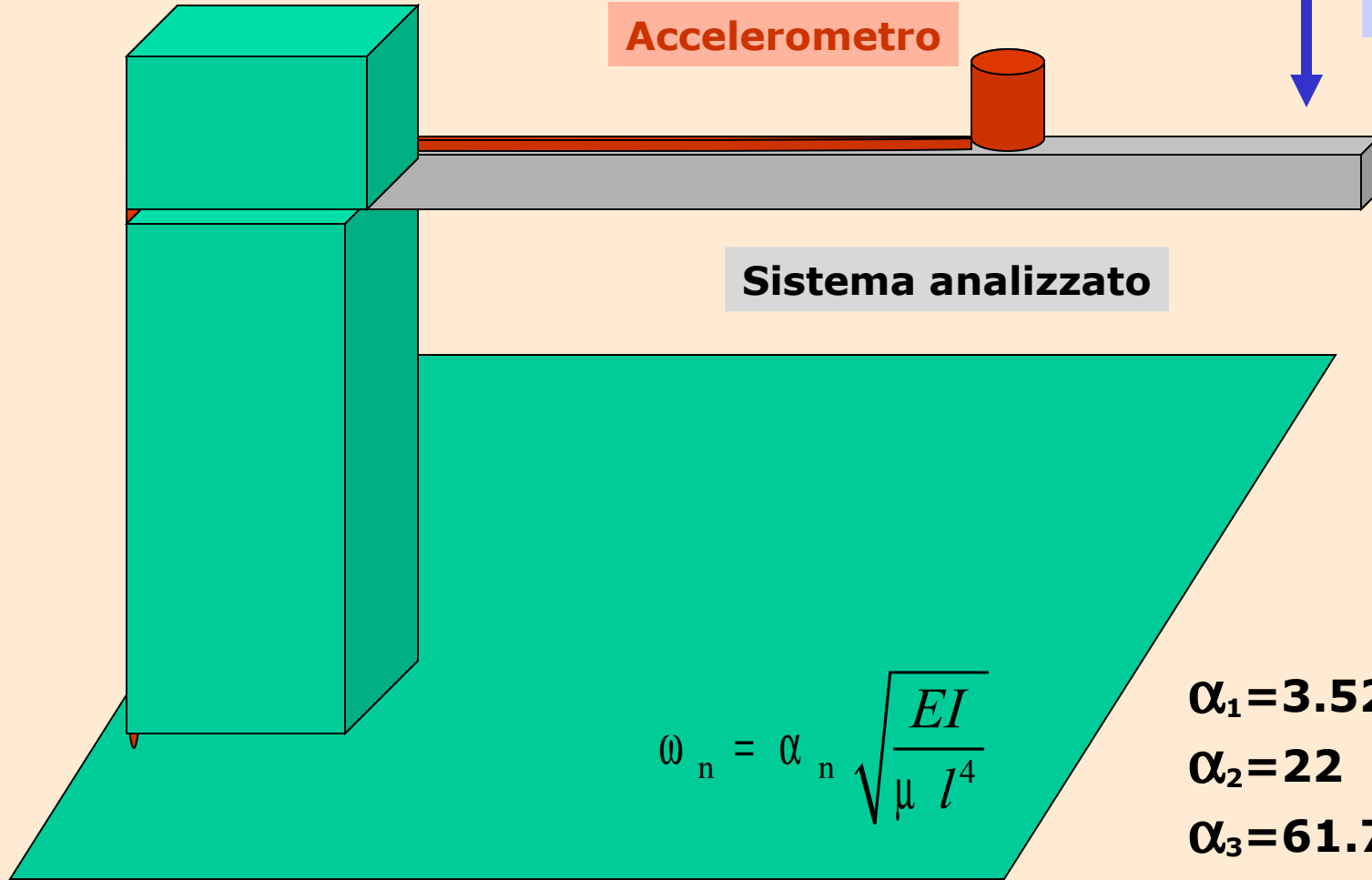
**Misure**



**Stimolo**

**Accelerometro**

**Sistema analizzato**



$$\omega_n = \alpha_n \sqrt{\frac{EI}{\mu l^4}}$$

$$\alpha_1 = 3.52$$

$$\alpha_2 = 22$$

$$\alpha_3 = 61.7$$

# Calcolo approssimato della discretizzazione

